

III-8 三軸圧密時の孔隙係数に関する一考察

東海大学 正員 〇赤石 賢
東海大学 正員 白子 傷明

金沢工大 正員 外崎 明
東海大学 正員 稲田 健穂

1. まえがき

三軸装置を用いた等方圧密試験における間隙水圧の挙動は、Terzaghi-Föhrlich の解で十分近似できることが知られている。¹⁾ Terzaghi-Föhrlich 解を用い、間隙水圧の測定値から求めた圧密係数は、圧密とともに大きくなる。しかし、体積ひずみの絶時変化から既成あるいは曲線法規法で孔隙係数を求めると、圧密圧力の大きさによらずほぼ一定値を示すことが多い。この原因の一つとしてこの報告では非ダルシー流れに着目した。体積水勾配における非ダルシー流れは、二次圧密とともに孔隙水勾配が小さく言われている。²⁾ 非ダルシー流れが圧密中の間隙水圧の挙動ならびに孔隙係数の変化におよぼす影響について二三の考察を試めた。

2. 試料および実験方法

試料……千葉県柏市で採取した粘土 ($G_s=2.64$, $w_L=99.6\%$, $w_P=40.8\%$, リットル分38.4%, 粒径14.6%) を用いた。

実験方法…… w_L 以上の含水比で十分練り込めた試料をモールドに詰め自立する程度に圧密する。この試料を大型等方圧密試験機に移し、 $\sigma'_0=0.1 \text{ kgf/cm}^2$ で等方圧密する。等方圧密を終了した試料から、直径 5cm, 高さ 5cm の圧密試験用供試体を成形した。供試体を三軸室にセットし、等方圧密圧力増分 $\Delta\sigma$ が 0.3, 0.4, 0.8, 1.6 kgf/cm^2 づつ 48 時間に隔離して段階的に加えて圧密した。片面排水で上端からの排水量と底部の過剝間隙水圧の絶時変化を測定した。

3. 実験結果と考察

図-1 は、第1段階の $\Delta\sigma=0.3 \text{ kgf/cm}^2$ を加えて等方圧密した時の体積ひずみと過剝間隙水圧との絶時変化を示したものである。各載荷段階毎の体積孔隙比 m_V と孔隙係数 C_V (曲線法規法による) を求めた結果が图-2 である。図-2 によれば、圧密圧力の増加とともに m_V は減少するが、 C_V はほぼ一定値である。 σ'_0 の増加とともに m_V が減少しても、それと同じ割合で透水係数も減少するため、 C_V は σ'_0 によらずに

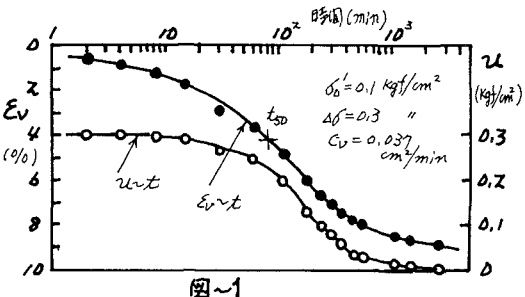


図-1

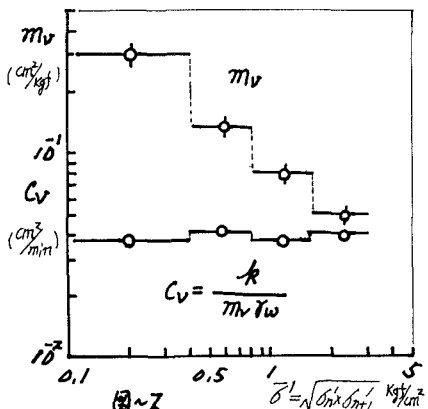


図-2

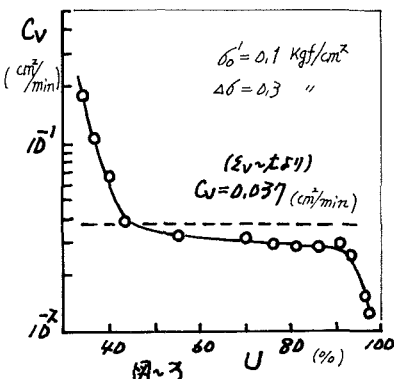


図-3

圧密一差にはつものと考えられる。Terzaghi-Föhrlich解によれば、供試体底部で測定した過剰間隙水压の絶時変化から式(1)によつて C_v を求めることができる。

$$C_v = \frac{H^2}{3\tau} \times \left\{ \frac{1}{4} + \log_e \left(\frac{\tau_0}{\tau} \right) \right\} \quad \cdots \cdots (1)$$

ここで、 H は最大排水距離、 τ_0 は初期過剰間隙水压、 τ は圧密時間である。

図～1に示した τ ～ C_v の関係に式(1)を適用し、 C_v と圧密度 ϵ の関係を示したのが図～3である。図～3によれば、圧密中の C_v の変化は 1 行以上である。また各載荷段階毎の C_v の変化を σ' に対して示したのが図～4である。体積ひずみの絶時変化から求めた C_v は、 ϵ やら求めた C_v の圧密終期の値に相当するようである。二水らの実験結果は、圧密理論に含まれる Darcy 則の妥当性に関する問題点を提示するものと思われる。

4. 非Darcy 流れと間隙水压の考察

圧密時の非Darcy 流れに関する吉田らの研究を参考にして図～5に示す v ～ i 図像とそれに対応する次の圧密方程式を用いて検討することにする。

$$(A) v = k \cdot i - \frac{\partial u}{\partial t} = \frac{k}{m_v \tau_0} \frac{\partial^2 u}{\partial z^2} \quad (B) v = k(i - i_0(1 - e^{-ci})) - \frac{\partial u}{\partial t} = \frac{k}{m_v \tau_0} \left[1 - i_0 e^{-ci} \exp \left(-\frac{c}{m_v \tau_0} \frac{\partial^2 u}{\partial z^2} \right) \right] \frac{\partial^2 u}{\partial z^2}$$

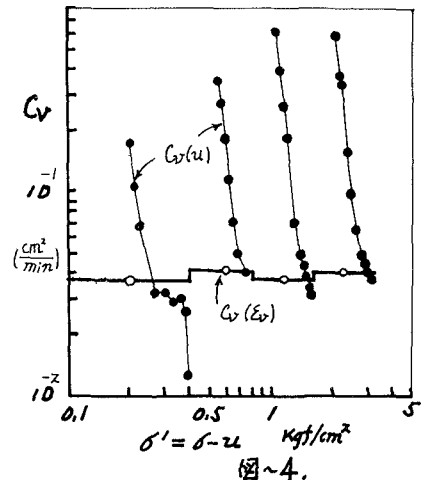
$$(C) v = k \cdot (i/i_0)^n - \frac{\partial u}{\partial z} = \frac{k \cdot n}{m_v (\tau_0 i_0)^n} \times \left(\frac{\partial u}{\partial z} \right)^{n+1} \times \left(\frac{\partial^2 u}{\partial z^2} \right)$$

図～1に示した実験結果から m_v と C_v を求め、 i_0 、 n などは吉田らの研究成果を参考にして決定した。図～1に示した実験と同じ条件で式(A)(B)(C)を解いた結果が図～6である。式(A)による計算結果に比較し、式(C)では初期に圧密速度が大きく終期に圧密速度が小さくなり、式(B)では終期にのみ圧密速度が小さくなっている。二水らの計算結果に式(1)を適用して圧密中の C_v の絶時変化を求めたのが図～7である。式(A)、(B)では、 C_v は圧密一差である。式(C)では、圧密度 50% 時計算に用いた C_v 値と近い値になるが、その前後でかなり変化している。しかし、実測値に比較するとその変化は小さい。実測値に合わせるために、これを大きくするか小さく修正しなければならない。そのような仮定は、 ϵ ～ t の実測値とのズレをさらに拡大してしまう。非Darcy 流れとともに体積ひずみのクリープ特性についても考慮する必要があると思われる。

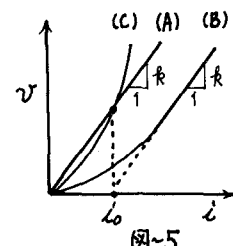
5. まとめと参考文献

空洞比を試験から計算値を算出する場合の困難点の検討の一例である。非Darcy 流れについて今後さらに実験的検討が必要と思われる。

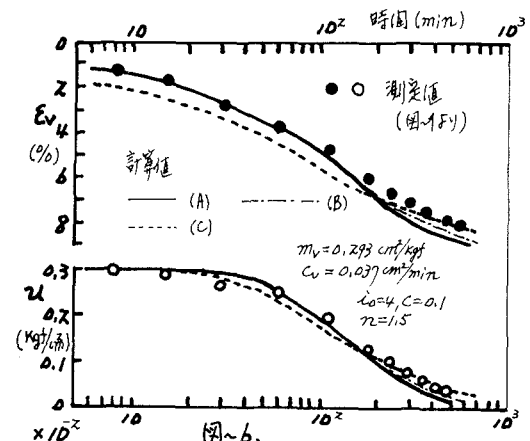
1) 稲井他; “地盤工学” 第3回講義集 No.90, 2) 吉田他; “地盤工学” 第14回講義会



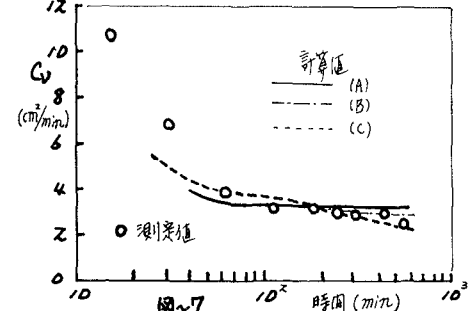
図～4.



図～5



図～6.



図～7